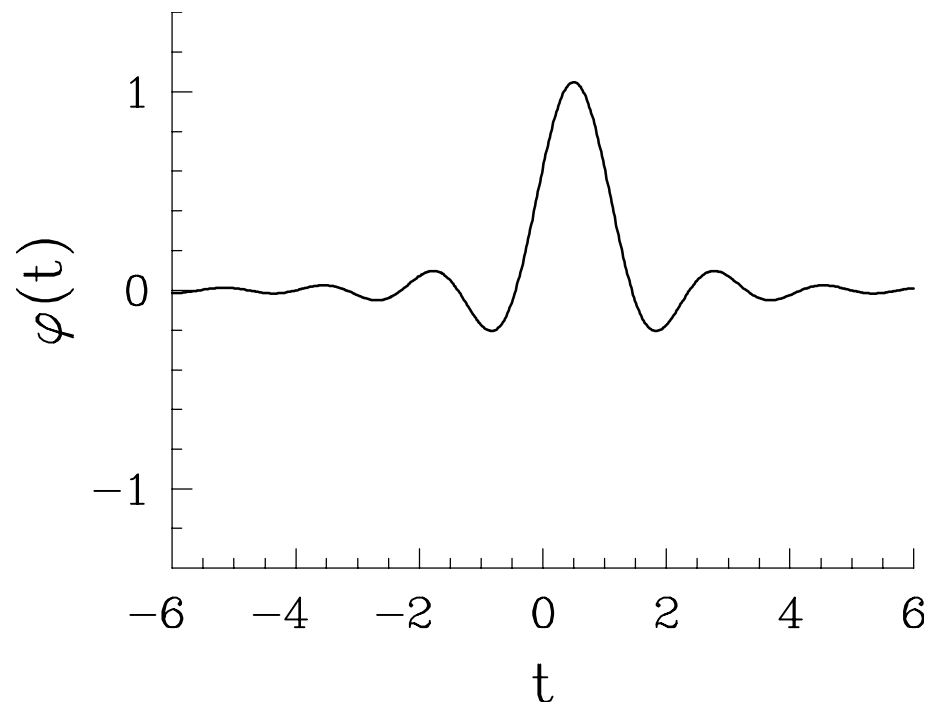
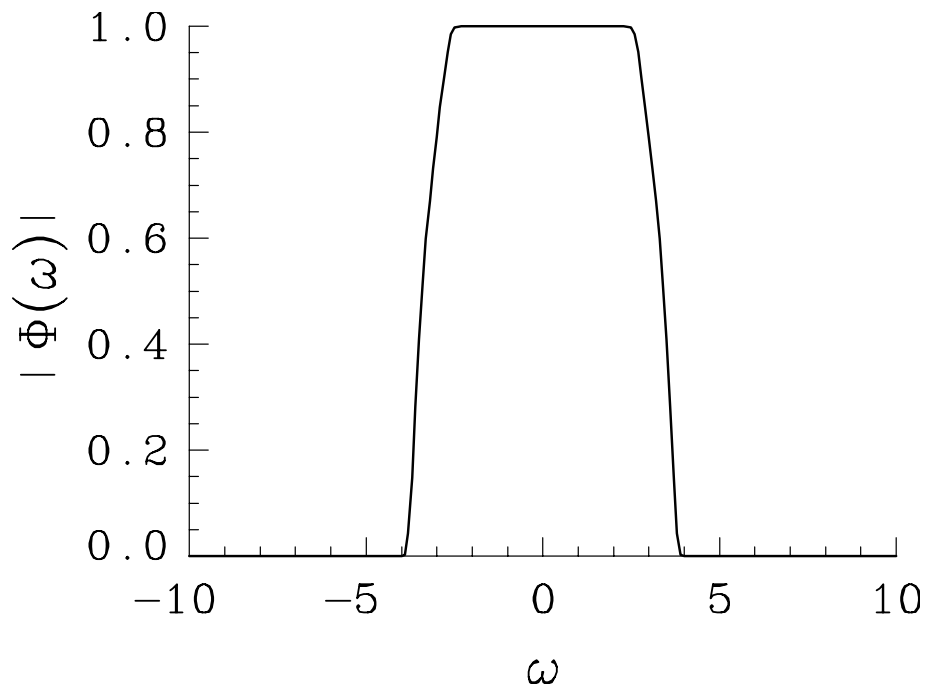
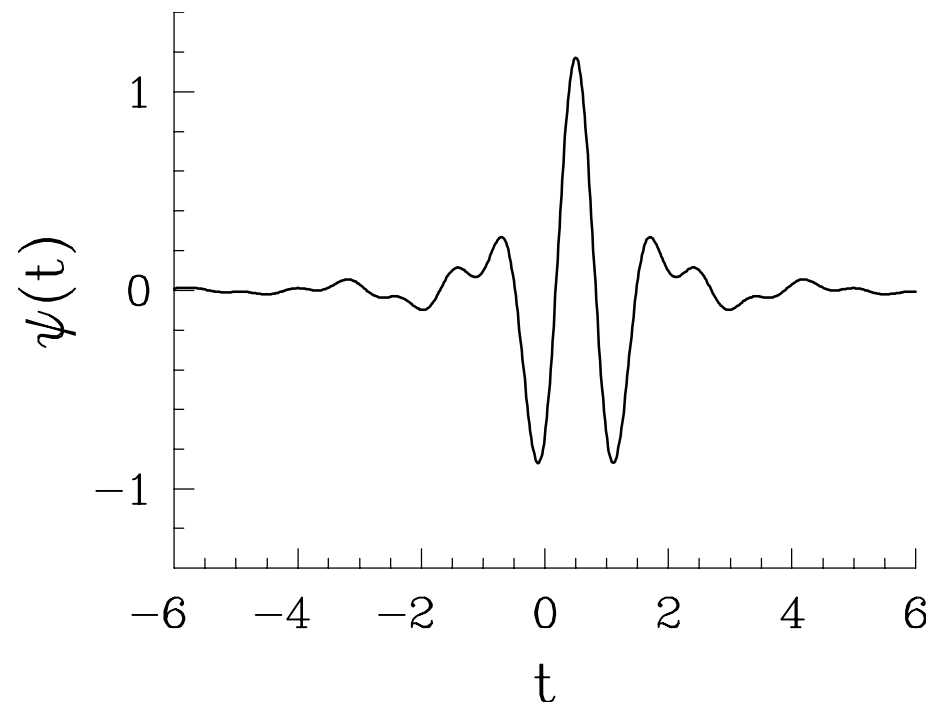
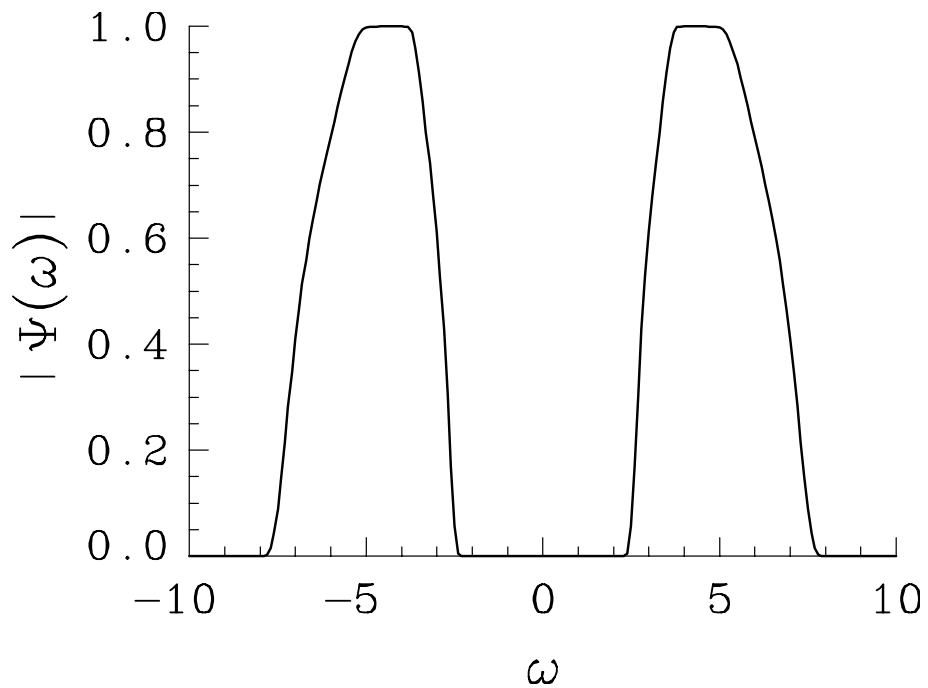


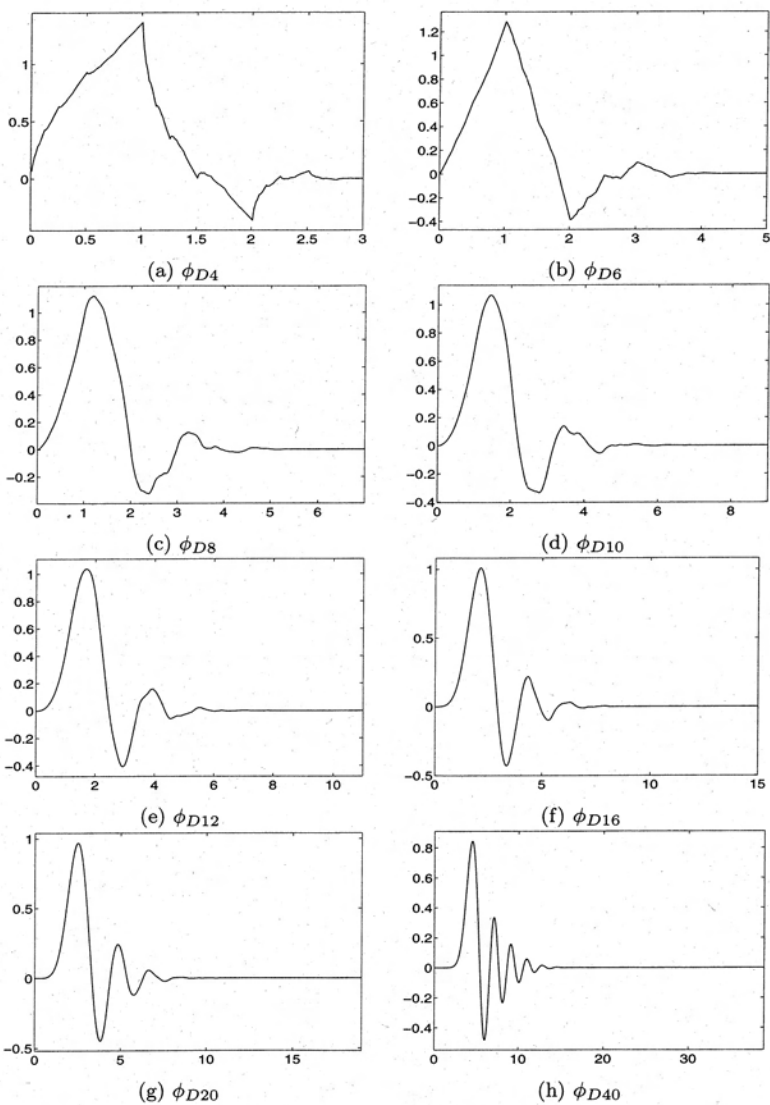
Sinc のスケール関数とウェーブレット関数



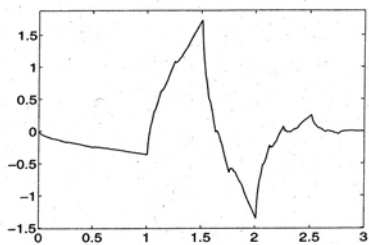
Meyer のスケーリング関数 ( 左 : 周波数領域、 右 : 時間領域 )



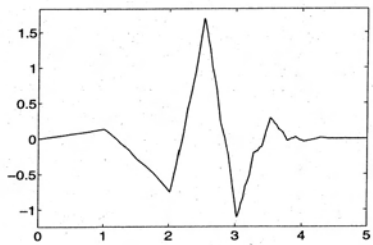
Meyer のウェーブレット関数 ( 左 : 周波数領域、 右 : 時間領域 )



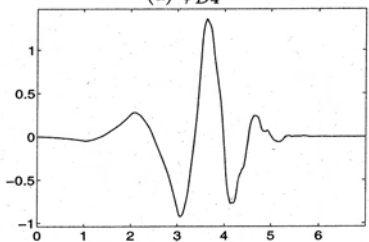
**Figure 6.1.** Daubechies Scaling Functions,  $N = 4, 6, 8, \dots, 40$



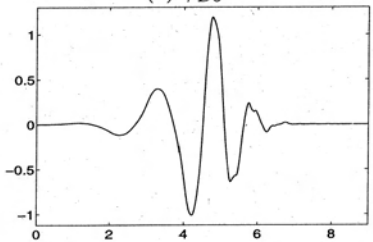
(a)  $\psi_{D4}$



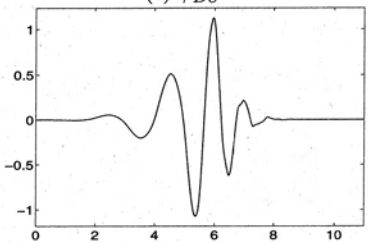
(b)  $\psi_{D6}$



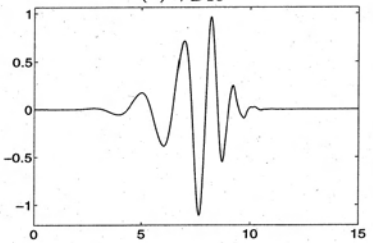
(c)  $\psi_{D8}$



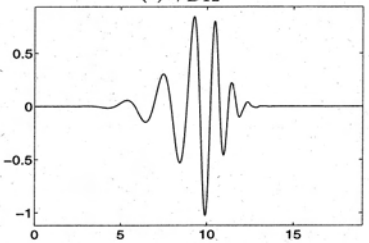
(d)  $\psi_{D10}$



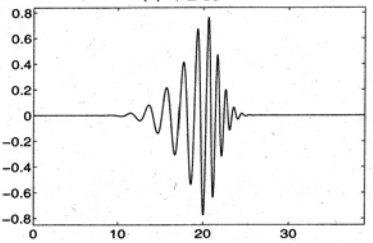
(e)  $\psi_{D12}$



(f)  $\psi_{D16}$

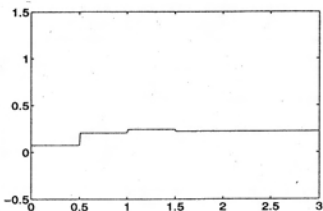


(g)  $\psi_{D20}$

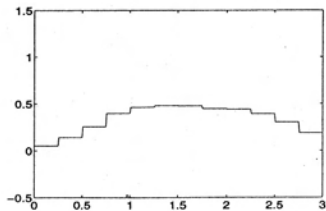


(h)  $\psi_{D40}$

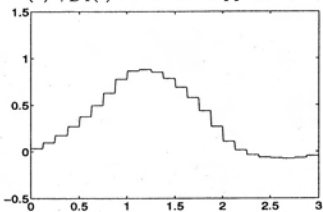
**Figure 6.2.** Daubechies Wavelets,  $N = 4, 6, 8, \dots, 40$



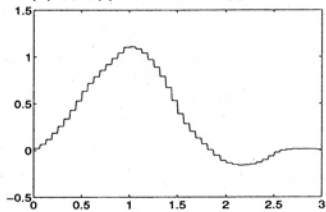
(a)  $\phi_{D4}(t)$  Successive Approx. 1



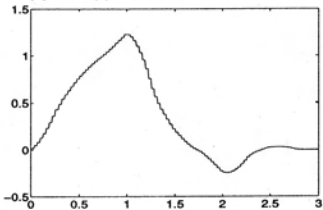
(b)  $\phi_{D4}(t)$  Successive Approx. 2



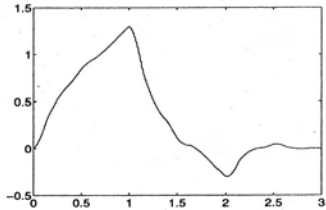
(c)  $\phi_{D4}(t)$  Successive Approx. 3



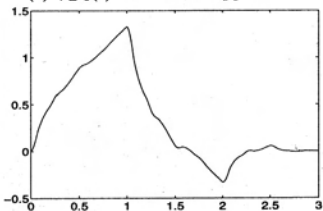
(d)  $\phi_{D4}(t)$  Successive Approx. 4



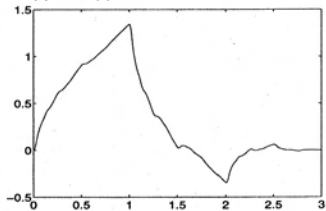
(e)  $\phi_{D4}(t)$  Successive Approx. 5



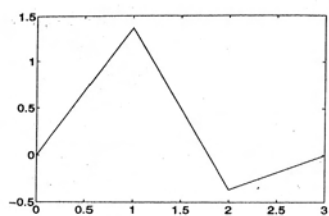
(f)  $\phi_{D4}(t)$  Successive Approx. 6



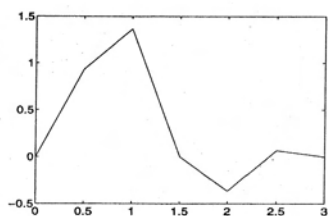
(g)  $\phi_{D4}(t)$  Successive Approx. 7



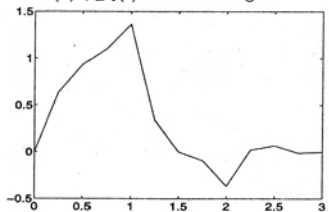
(h)  $\phi_{D4}(t)$  Successive Approx. 8



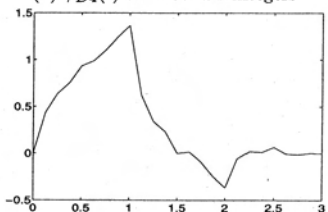
(a)  $\phi_{D_4}(t)$  eval. at integers



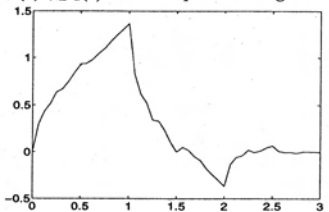
(b)  $\phi_{D_4}(t)$  eval. at half integers



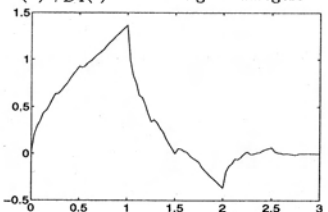
(c)  $\phi_{D_4}(t)$  eval. at quarter integers



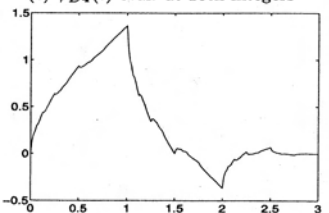
(d)  $\phi_{D_4}(t)$  eval. at eighth integers



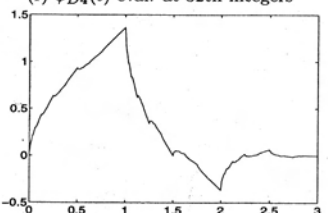
(e)  $\phi_{D_4}(t)$  eval. at 16th integers



(f)  $\phi_{D_4}(t)$  eval. at 32th integers



(g)  $\phi_{D_4}(t)$  eval. at 64th integers



(h)  $\phi_{D_4}(t)$  eval. at 128th integers